



# Taiwan Goodark Technology Co.,Ltd

## SMAJ6.5CA/ ( 300W)

### Transient voltage suppressors

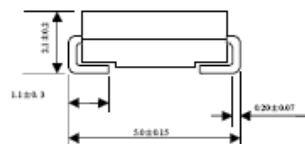
#### 特性:

- ◆ 300W 峰值脉冲功率
- ◆ 优良的箝制能力
- ◆ 较小的箝位因子
- ◆ 快速响应时间: 从 0V 到  $V_{BR}$ , 单向型小于 1.0ps, 双向型小于 5.0ns
- ◆ 耐焊接热: 250°C/10S, 引出端 1.5mm 处。

#### 机械性能:

- ◆ 封装: 模塑封装
- ◆ 塑封材料: 用 UL94V-0 认可的阻燃环氧料
- ◆ 端子: 镀锡
- ◆ 极性: 色带表示阴极,
- ◆ 安装位置: 任意

#### SMA/DO-214AC (SMA)



**300W 表面贴装 TVS**

尺寸单位: Inch (mm)

#### 最大额定值及电气特性

测量环境温度为 25°C, 除非另有规定

参数名称	符号	额定值	单位
最大峰值脉冲功率 (注释 1)	$P_{ppm}$	最小 300	W
最大峰值反向脉冲电流 (注释 1)	$I_{ppm}$	见表	A
稳态功率 (注释 2)	$P_{M(AV)}$	1.0	W
最大峰值正向浪涌电流 (注释 3) 仅对单向型	$I_{FSM}$	40.0	A
最大瞬态正向电压 @ 25A 仅对单向型	$V_F$	3.5	V
工作及储存温度	$T_{J,TSTG}$	-55~+150	°C

注释: 1. 脉冲电流时间 10 / 1000 μs。

2. 在引线末端安装面积为 5.0mm<sup>2</sup>, 厚 0.013mm 的散热铜片,  $T_a=75^\circ\text{C}$ 。

#### 电特性 (测量环境温度为 25°C, 除非另有规定)

型号	标识代码 Marking		击穿电压		测试电流	变位电压	最大反向漏电流 @ $V_{WM}$	最大峰值脉冲浪涌电流	最大箝位电压 @ $I_{ppm}$
			$V_{(BR)}$ (注释 1)	$V$					
	单向	双向	最小	最大					
SMAJ6.5CA	TK		7.22	7.98	10.0	6.5	500	28.0	11.2

注释:

1.  $V_{(BR)}$  值在施加  $10 \mu\text{s}$  后测量,  $I_T$  为方波或等效的脉冲波形

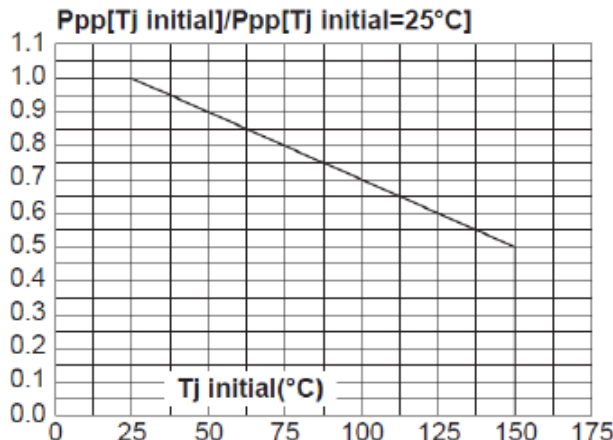
2. 对于双向型,  $V_{WM}$  在 10V 及 10V 以下,  $I_D$  值加倍



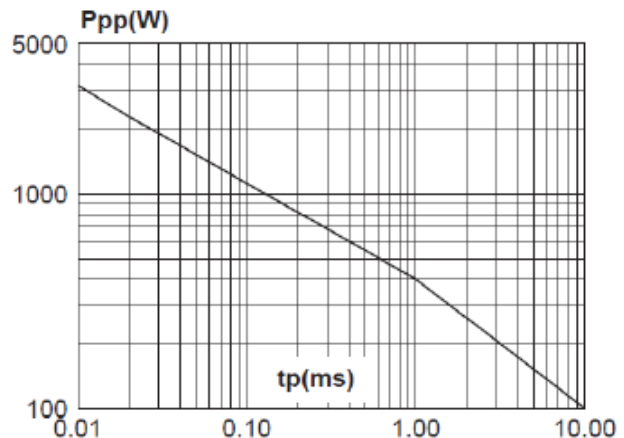
# Taiwan Goodark Technology Co.,Ltd

## SMAJ6.5CA/ ( 300W)

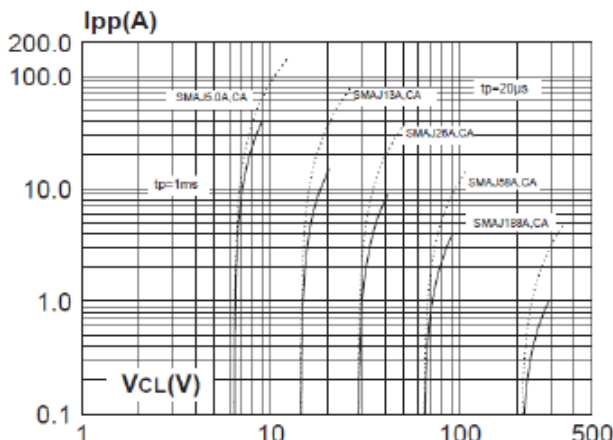
**Fig 1:** Peak power dissipation versus initial junction temperature.



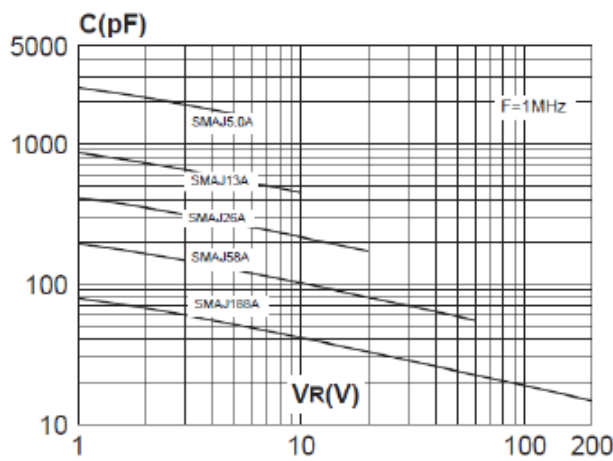
**Fig 2:** Peak pulse power versus exponential pulse duration (T<sub>j</sub> initial=25°C).



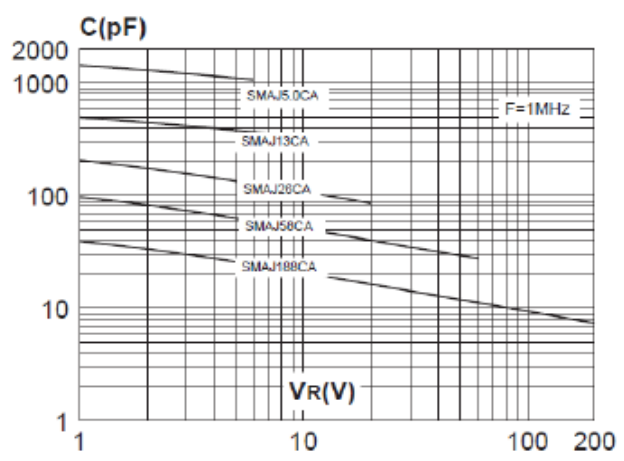
**Fig 3:** Clamping voltage versus peak pulse current (T<sub>j</sub> initial=25°C)  
Exponential waveform tp=20μs & tp=1ms.



**Fig 4-1:** Capacitance versus reverse applied voltage (typical values) (SMAJxxA).



**Fig 4-2:** Capacitance versus reverse applied voltage (typical values) (SMAJxxCA).

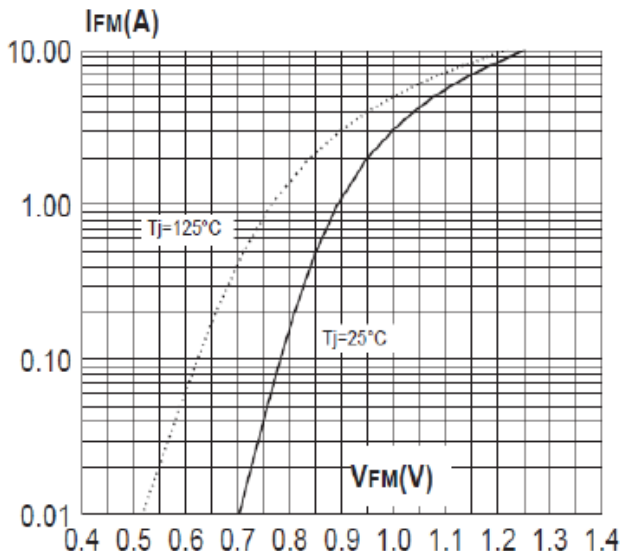




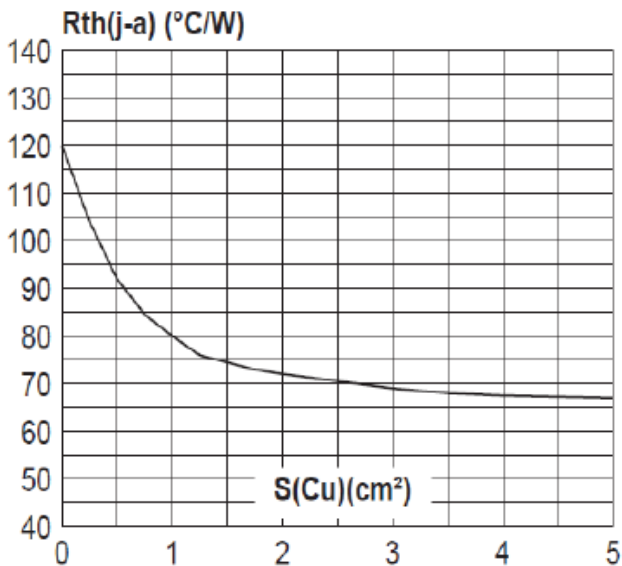
# Taiwan Goodark Technology Co.,Ltd

SMAJ6.5CA/ ( 300W)

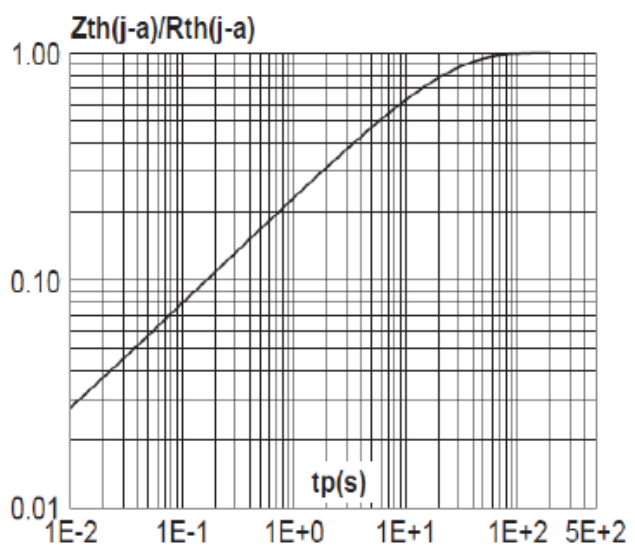
**Fig 5:** Peak forward voltage drop versus peak forward current (typical values).



**Fig 7:** Thermal resistance junction to ambient versus copper surface under each lead (printed circuit board FR4  $e(Cu)=35\mu m$ ).



**Fig 6:** Relative variation of thermal impedance junction to ambient versus pulse duration.



**Fig 8:** Relative variation of leakage current versus junction temperature.

